

## Численные методы расчета конструкций

### ТЕОРЕТИЧЕСКОЕ ИССЛЕДОВАНИЕ УСТОЙЧИВОСТИ ЯВНОЙ ДВУХСЛОЙНОЙ ЛИНЕЙНОЙ СХЕМЫ ДЛЯ ВНУТРЕННИХ УЗЛОВЫХ ТОЧЕК НА РАВНОМЕРНОЙ ПРЯМОУГОЛЬНОЙ СЕТКЕ

В.К. МУСАЕВ, доктор технических наук, профессор  
Российский университет дружбы народов  
117198, г. Москва, ул. Миклухо-Маклая, 6, Россия  
musayev-vk@yandex.ru

Приводится информация об устойчивости двумерной явной двухслойной конечно-элементной линейной схемы в перемещениях для внутренних узловых точек на равномерной прямоугольной сетке. Применяется девятиточечный шаблон.

КЛЮЧЕВЫЕ СЛОВА: устойчивость, явная схема, узловые точки, прямоугольная сетка.

Рассмотрим устойчивость двумерной явной двухслойной конечноэлементной линейной схемы в перемещениях для внутренних узловых точек на равномерной прямоугольной сетке [1].

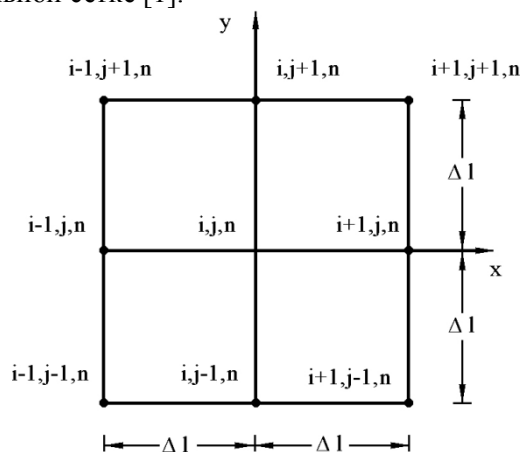


Рис. 1. Прямоугольная равномерная конечноэлементная сетка по пространственным координатам

Некоторая информация о достоверности и разработки алгоритма численно-го моделирования волн напряжений в деформируемых телах приведена в работах [2–5].

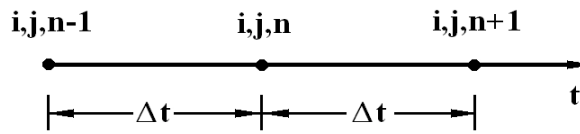


Рис. 2. Прямоугольная равномерная конечноэлементная сетка по временной координате

Используя основные соотношения для прямоугольного конечного элемента, покажем матрицу жесткости  $\bar{K}$  и вектор инерции для  $\bar{H}$  двумерного конечного элемента

$$\bar{K} = \rho h \begin{vmatrix} k_{1i,j} & k_{2i,j} \\ k_{3i,j} & k_{4i,j} \end{vmatrix}; \quad (1)$$

$$\bar{H} = \rho abh \begin{vmatrix} 1 & 1 & 1 & 1 & 1 & 1 & 1 & 1 \end{vmatrix}^T; \quad (2)$$

где  $k_{1i,j} = \rho \left( \frac{b}{a} C_p^2 P_{1i,j} + \frac{a}{b} C_s^2 P_{2i,j} \right)$ ;  $k_{2i,j} = \rho \left( (C_p^2 - 2C_s^2) P_{3i,j} + C_s^2 P_{4i,j} \right)$ ;

$$k_{3i,j} = \rho \left( (C_p^2 - 2C_s^2) P_{4i,j} + C_s^2 P_{3i,j} \right); \quad k_{4i,j} = \rho \left( \frac{a}{b} C_p^2 P_{2i,j} + \frac{b}{a} C_s^2 P_{1i,j} \right);$$

$$\bar{P}_1 = \frac{1}{6} \begin{vmatrix} 2 & -2 & -1 & 1 \\ -2 & 2 & 1 & -1 \\ -1 & 1 & 2 & -2 \\ 1 & -1 & -2 & 2 \end{vmatrix}; \quad \bar{P}_2 = \frac{1}{6} \begin{vmatrix} 2 & 1 & -1 & -2 \\ 1 & 2 & -2 & -1 \\ -1 & -2 & 2 & 1 \\ -2 & -1 & 1 & 2 \end{vmatrix};$$

$$\bar{P}_3 = \frac{1}{4} \begin{vmatrix} 1 & 1 & -1 & -1 \\ -1 & -1 & 1 & 1 \\ -1 & -1 & 1 & 1 \\ 1 & 1 & -1 & -1 \end{vmatrix}; \quad \bar{P}_4 = \frac{1}{4} \begin{vmatrix} 1 & -1 & -1 & 1 \\ 1 & -1 & -1 & 1 \\ -1 & 1 & 1 & -1 \\ -1 & 1 & 1 & -1 \end{vmatrix};$$

$E$  – модуль упругости;  $\nu$  – коэффициент Пуассона;  $\rho$  – плотность материала;

$C_p = \sqrt{\frac{E}{\rho(1-\nu^2)}}$  – скорость продольной упругой волны;  $C_s = \sqrt{\frac{E}{2\rho(1+\nu)}}$  – скорость поперечной упругой волны;

$a$  – половина длины прямоугольного конечного элемента;  $b$  – половина высоты прямоугольного конечного элемента;  $h$  – толщина прямоугольного конечного элемента.

Принимая во внимание определение матрицы жесткости, вектора инерции и вектора внешних сил для некоторого деформируемого тела [1, 2], записываем приближенное значение уравнения движения в теории упругости

$$\bar{H}\ddot{\bar{\Phi}} + \bar{K}\bar{\Phi} = \bar{R}, \quad \dot{\bar{\Phi}}|_{t=0} = \dot{\bar{\Phi}}_0, \quad \bar{\Phi}|_{t=0} = \bar{\Phi}_0, \quad (3)$$

где  $\bar{H}$  – матрица инерции;  $\bar{K}$  – матрица жесткости;  $\bar{\Phi}$  – вектор узловых упругих перемещений;  $\dot{\bar{\Phi}}$  – вектор узловых упругих скоростей перемещений;  $\ddot{\bar{\Phi}}$  – вектор узловых упругих ускорений;  $\bar{R}$  – вектор узловых упругих внешних сил.

Соотношение (3) система линейных обыкновенных дифференциальных уравнений второго порядка в перемещениях с начальными условиями. Таким образом, с помощью метода конечных элементов в перемещениях, линейную задачу с начальными и граничными условиями привели к линейной задаче Коши. Интегрируя по временной координате соотношение (3) с помощью конеч-

ноэлементного варианта метода Галеркина, получим двумерную явную двухслойную конечноэлементную линейную схему в перемещениях для внутренних и граничных узловых точек:

$$\vec{\Phi}_{i+1} = \vec{\Phi}_i + \Delta t \bar{H}^{-1} (-\bar{K}\vec{\Phi}_i + \bar{R}_i), \quad \vec{\Phi}_{i+1} = \vec{\Phi}_i + \Delta t \vec{\dot{\Phi}}_{i+1}, \quad (4)$$

где  $\Delta t$  – шаг по временной координате.

Исследуем на устойчивость явные конечноэлементные линейные схемы в перемещениях для внутренних узловых точек на равномерных сетках с помощью метода Неймана [6, 7].

Будем искать решение явных двухслойных конечноэлементных линейных схем в перемещениях для внутренних узловых точек на равномерных сетках в виде:

$$u_{i,j,n} = GP^n e^{i_1 \alpha i} e^{i_1 \beta j}, \quad (5)$$

$$v_{i,j,n} = FP^n e^{i_1 \alpha i} e^{i_1 \beta j}, \quad (6)$$

где  $i_1 = \sqrt{-1}$ ;  $G$  и  $F$  – константы;  $P$  – функция целых чисел  $\alpha$  и  $\beta$ .

Рассмотрим устойчивость одномерной явной двухслойной конечноэлементной линейной схемы в перемещениях для внутренних узловых точек на равномерной прямоугольной сетке (рис. 1–2) [8].

Рассмотрим уравнение динамического равновесия (4) для узловой точки  $(i, j, n)$  через элементы матрицы жесткости (1) и вектора инерции (2) конечного элемента с четырьмя узловыми точками

$$\begin{aligned} \dot{u}_{i,j,n+1} = \dot{u}_{i,j,n} - \frac{\Delta t}{(H_1 + H_3 + H_5 + H_7)} & ((k_{1,1} + k_{3,3} + k_{5,5} + k_{7,7})u_{i,j,n} + \\ & + (k_{1,2} + k_{3,4} + k_{5,6} + k_{7,8})v_{i,j,n} + (k_{5,7} + k_{3,1})u_{i+1,j,n} + \\ & + (k_{5,8} + k_{3,2})v_{i+1,j,n} + k_{3,7}u_{i+1,j-1,n} + k_{3,8}v_{i+1,j-1,n} + \\ & + (k_{3,5} + k_{1,7})u_{i,j-1,n} + (k_{3,6} + k_{1,8})v_{i,j-1,n} + k_{1,5}u_{i-1,j-1,n} + \\ & + k_{1,6}v_{i-1,j-1,n} + (k_{1,3} + k_{7,5})u_{i-1,j,n} + (k_{1,4} + k_{7,6})v_{i-1,j,n} + \\ & + k_{7,3}u_{i-1,j+1,n} + k_{7,4}v_{i-1,j+1,n} + (k_{7,1} + k_{5,3})u_{i,j+1,n} + \\ & + (k_{7,2} + k_{5,4})v_{i,j+1,n} + k_{5,1}u_{i+1,j+1,n} + k_{5,2}v_{i+1,j+1,n}), \end{aligned} \quad (7)$$

$$u_{i,j,n+1} = u_{i,j,n} + \Delta t \dot{u}_{i,j,n+1}, \quad (8)$$

$$\begin{aligned} \dot{v}_{i,j,n+1} = \dot{v}_{i,j,n} - \frac{\Delta t}{(H_2 + H_4 + H_6 + H_8)} & ((k_{2,1} + k_{4,3} + k_{6,5} + k_{8,7})u_{i,j,n} + \\ & + (k_{2,2} + k_{4,4} + k_{6,6} + k_{8,8})v_{i,j,n} + (k_{6,7} + k_{4,1})u_{i+1,j,n} + \\ & + (k_{6,8} + k_{4,2})v_{i+1,j,n} + k_{4,7}u_{i+1,j-1,n} + k_{4,8}v_{i+1,j-1,n} + \\ & + (k_{4,5} + k_{2,7})u_{i,j-1,n} + (k_{4,6} + k_{2,8})v_{i,j-1,n} + k_{2,5}u_{i-1,j-1,n} + \\ & + k_{2,6}v_{i-1,j-1,n} + (k_{2,3} + k_{8,5})u_{i-1,j,n} + (k_{2,4} + k_{8,6})v_{i-1,j,n} + \\ & + k_{8,3}u_{i-1,j+1,n} + k_{8,4}v_{i-1,j+1,n} + (k_{8,1} + k_{6,3})u_{i,j+1,n} + \\ & + (k_{8,2} + k_{6,4})v_{i,j+1,n} + k_{6,1}u_{i+1,j+1,n} + k_{6,2}v_{i+1,j+1,n}), \end{aligned} \quad (9)$$

$$v_{i,j,n+1} = v_{i,j,n} + \Delta t \dot{v}_{i,j,n+1}. \quad (10)$$

Подставляя (1–2) и (5–6) в (7–10), получаем систему при  $\cos \alpha = \sin \beta = 1$ , которая имеет следующий вид:

$$G\left(\frac{\Delta l^2}{\Delta t^2}(-P+2-P^{-1})-C_1\right)-FC_2=0, \quad (11)$$

$$FC_2+G\left(\frac{\Delta l^2}{\Delta t^2}(-P+2-P^{-1})-C_1\right)=0, \quad (12)$$

где

$$C_1 = \frac{4}{3}(C_p^2 + C_s^2); \quad C_2 = (vC_p^2 + C_s^2).$$

Из (11) и (12) получим матрицу

$$\bar{\eta} = \begin{vmatrix} \frac{\Delta l^2}{\Delta t^2}(-P+2-P^{-1})-C_1 & -C_2 \\ -C_2 & \frac{\Delta l^2}{\Delta t^2}(-P+2-P^{-1})-C_1 \end{vmatrix}. \quad (13)$$

Раскрывая определитель матрицы  $|\bar{\eta}|=0$  в (13), получим характеристическое уравнение

$$(S-C_1)(S-C_1) = C_2^2, \\ S = \frac{\Delta l^2}{\Delta t^2}(-P+2-P^{-1}). \quad (14)$$

Из уравнений (14) получим

$$P^2 - 2\left(1 - \frac{15-v}{12} \frac{C_p^2 \Delta t^2}{\Delta l^2}\right)P + 1 = 0.$$

Устойчивость двумерной явной двухслойной конечноэлементной линейной схемы в перемещениях для внутренних узловых точек на равномерной прямоугольной сетке (4) будет иметь место, если шаг по временной координате подчинить условию

$$\Delta t \leq h \frac{\Delta l}{C_p},$$

где

$$h = \sqrt{\frac{12}{15-v}} \quad (0,83 < h < 0,89).$$

#### Л и т е р а т у р а

1. Мусаев В.К. О сходимости двумерной явной двухслойной конечноэлементной линейной схемы в перемещениях для внутренних узловых точек на равномерной прямоугольной сетке // Вестник Российского университета дружбы народов. Серия проблемы комплексной безопасности. – 2008. – № 3. – С. 60–68.

2. Мусаев В.К. Оценка достоверности и точности результатов вычислительного эксперимента при решении задач нестационарной волновой теории упругости // Научный журнал проблем комплексной безопасности. – 2009. – № 1. – С. 55–80.

3. Сазонов К.Б., Суцнев Т.С., Шепелина П.В., Куранцов О.В., Акатьев С.В. Моделирование нестационарного волнового напряженного состояния в деформируемых объ-

ектах с помощью численного метода Мусаева В.К. в перемещениях // Информационно-телекоммуникационные технологии и математическое моделирование высокотехнологичных систем. Тезисы докладов Всероссийской конференции с международным участием. – М.: РУДН, 2012. – С. 332–334.

4. *Nemchinov V.V.* Diffraction of a plane longitudinal wave by spherical cavity in elastic space // *International Journal for Computational Civil and Structural Engineering*. – 2013. – Volume 9, Issue 1. – P. 85–89.

5. *Nemchinov V.V.* Numerical methods for solving flat dynamic elasticity problems // *International Journal for Computational Civil and Structural Engineering*. – 2013. – Volume 9, Issue 1. – P. 90–97.

6. *Rixtmajер P., Мортон К.* Разностные методы решения краевых задач. – М.: Мир, 1972. – 420 с.

7. *Bate K., Vilson E.* Численные методы анализа и метод конечных элементов. – М.: Стройиздат, 1982. – 448 с.

8. *Мусаев В.К.* Об устойчивости двумерной явной двухслойной конечноэлементной линейной хемы в перемещениях для внутренних узловых точек на равномерной треугольной сетке // *Вестник Российского университета дружбы народов. Серия проблемы комплексной безопасности*. – 2008. – № 2. – С. 59–65.

#### References

1. *Musaev, V.K.* (2008). O sxdimosti dvumernoj yavnoj dvuxslojnoj konechnoe'lementnoj linejnoj sxemy v peremeshheniyax dlya vnutrennix uzlovyx toчек na ravnomernoj pryamougol'noj setke. *Vestnik Rossijskogo Universiteta Druzhy Narodov. Seriya problemy kompleksnoj bezopasnosti*, № 3, pp. 60–68.

2. *Musaev, V.K.* (2009). Ozenka dostovernosti i tochnosti rezul'tatov vychislitel'nogo e'ksperimenta pri reshenii zadach nestacionarnoj volnovoј teorii uprugosti. *Nauchnyj Zhurnal Problem Kompleksnoj Bezopasnosti*, № 1, pp. 55–80.

3. *Sazonov, K.B., Sushhev, T.S., Shepelina, P.V., Kurancov, O.V., Akat'ev, S.V.* (2012). Modelirovanie nestacionarnogo volnovogo napryazhennogo sostoyaniya v deformiruemyx ob'ektax s pomoshh'yu chislennogo metoda Musaeva V.K. v peremeshheniyax. *Informacionno-telekommunikacionnye texnologii i matematicheskoe modelirovanie vysokotexnologichnyx sistem. Tez. dokl. Vserossijskoј konferencii s mezhdunarodnym uchastiem*, Moscow: RUDN, pp. 332–334.

4. *Nemchinov, V.V.* (2013). Diffraction of a plane longitudinal wave by spherical cavity in elastic space. *International Journal for Computational Civil and Structural Engineering*, 2013, Vol. 9, Iss. 1, pp. 85–89.

5. *Nemchinov, V.V.* (2013). Numerical methods for solving flat dynamic elasticity problems. *International Journal for Computational Civil and Structural Engineering*, Vol. 9, Iss. 1, pp. 90–97.

6. *Rixtmajер, R., Morton, K.* (1972). *Raznostnye Metody Resheniya Kraevyx Zadach*. Moscow: “Mir”, 420 s.

7. *Bate, K., Vilson, E.* (1982). *Chislennye Metody Analiza i Metod Konechnyx E'lementov*. Moscow: Strojizdat, 448 p.

8. *Musaev, V.K.* (2008). Ob ustoychivosti dvumernoy yavnoj dvuxslojnoj konechnoelementnoj lineynoy shemy v peremescheniyah dlya vnutrennix uzlovyh toчек na ravnomernoy treugol'noј setke. *Vestnik Rossijskogo Universiteta Druzhy Narodov. Seriya problemy kompleksnoj bezopasnosti*, № 2, pp. 59–65.

### **THEORETICAL INVESTIGATION OF THE STABILITY OF EXPLICIT TWO-LAYER LINEAR SCHEME FOR INTERNAL ANCHOR POINTS ON THE UNIFORM RECTANGULAR GRID**

Musayev V.K.

*Peoples' Friendship University of Russia, Moscow*

Provides information about the stability of two-dimensional explicit two-layer linear finite element scheme of movement for internal anchor points on the uniform rectangular grid. Applies ninepoint pattern.

KEY WORDS: sustainability, explicit scheme, anchor points, rectangular grid.